## Magneto-Rayleigh-Taylor instability driven by a rotating magnetic field

## Shu-Chao Duan a,b,\* et al

<sup>a</sup> Institute of Fluid Physics, CAEP, P. O. Box 919-105, Mianyang 621999, China

<sup>b</sup> Department of Modern Physics, University of Science and Technology of China, Hefei 230026, China \*Corresponding author: s.duan@163.com

套筒(liner),厚度 h,外半径为 a,内半径为 a-h。柱坐标系。套筒内外均有磁场  $B_i=(0,B_{\phi i},B_{zi})$  和  $B_o=(0,B_{\phi o},B_{zo})$ 。在随体坐标系中,等效重力加速度为  $\mathbf{g_r}=g\mathbf{e_r},g>0$ 。力平衡条件

$$\rho g h = \frac{B_o^2 - B_i^2}{2} \equiv \frac{\Delta B^2}{2} \equiv p_m^+ - p_m^-.$$
 (1)

不可压流体近似。线性化的运动方程

$$\rho \ddot{\xi}^{\pm} - \rho g \partial_r \xi^{\pm} + \partial_r \delta p_m^{\pm} = 0. \tag{2}$$

真空区扰动磁场可以表示为 $\delta B = \nabla \psi$ ,它满足拉普拉斯方程 $\nabla^2 \psi = 0$ 。对于 $\phi$ 和 z 因子是谐波的情形,其径向的解是修正 Bessel 函数。为了保持有限性,内区取第一类修正 Bessel 函数,外区取第二类修正 Bessel 函数。因此,内外区的扰动磁场为

$$\delta B_{ri} = kC_{i}I_{-}, \delta B_{\phi i} = \frac{im}{a}C_{i}I_{-}, \delta B_{zi} = ikC_{i}I_{-},$$

$$\delta B_{ro} = kC_{o}K_{-}, \delta B_{\phi o} = \frac{im}{a}C_{o}K_{-}, \delta B_{zo} = ikC_{o}K_{-},$$
(3)

其中记号

$$I_{-} \equiv I_{m}(k(a-h)), I_{-} \equiv I_{m}(k(a-h)), K \equiv K_{m}(ka), K \equiv K_{m}(ka),$$
 (4)

并且导数是对宗量的。根据磁场平行于扰动界面的条件可以得出

$$C_{i} = \frac{imB_{\phi i} + ik(a - h)B_{zi}}{k(a - h)I_{-}^{'}} \xi^{-}, C_{o} = \frac{imB_{\phi o} + ikaB_{zo}}{kaK_{-}^{'}} \xi^{+}.$$
 (5)

扰动界面上的磁压为 $\delta p_m = B_\phi \delta B_\phi - B_\phi^2 \xi / a + B_z \delta B_z$ , 内外界面处分别为

$$\delta p_m^- = \rho g f_I \xi^-, \delta p_m^+ = \rho g f_K \xi^+, \tag{6}$$

其中记号

$$f_{I} = -\frac{2hq^{2}B_{i}^{2}I_{-}\cos^{2}\theta_{i}}{k\Delta B^{2}I_{-}^{'}} - \frac{2hB_{\phi i}^{2}}{(a-h)\Delta B^{2}}, f_{K} = -\frac{2hq^{2}B_{o}^{2}K\cos^{2}\theta_{o}}{k\Delta B^{2}K^{'}} - \frac{2hB_{\phi o}^{2}}{a\Delta B^{2}}, \tag{7}$$

其中 $q = \sqrt{(m/a)^2 + k^2}$ , $\theta = \theta(t)$ 是q与B之间的夹角。

代入方程(2)之后得到

$$\ddot{\xi}^{-} - g(1 - f_I)\partial_r \xi^{-} = 0, \tag{8}$$

$$\ddot{\xi}^{+} - g(1 - f_{K})\partial_{r}\xi^{+} = 0.$$
 (9)

由于 $\nabla \cdot \xi = \nabla \times \xi = 0$ , 所以其通解是

$$\xi = [AI_m(ka) + BK_m(ka)]e^{im\phi + ikz}\xi(t). \tag{10}$$

代入(8)(9)式,得到关于A、B的代数方程。要求相应的行列式为零,得出

$$\ddot{\xi}^2 + Rgk\ddot{\xi}\xi - Sg^2k^2\xi^2 = 0, (11)$$

其中

$$R = -\frac{(1 - f_I)(I_{-}^{'}K - IK_{-}^{'}) + (1 - f_K)(I_{-}K_{-}^{'} - I_{-}^{'}K_{-})}{I_{-}K - IK_{-}^{'}},$$

$$S = -\frac{(1 - f_I)(1 - f_K)(I_{-}^{'}K_{-}^{'} - I_{-}^{'}K_{-}^{'})}{I_{-}K - IK}.$$
(12)

前面(11)式即

$$(\ddot{\xi} - \gamma_{+}gk\xi)(\ddot{\xi} - \gamma_{-}gk\xi) = 0, \tag{13}$$

其中

$$\gamma_{\pm} = -\frac{R}{2} \pm \sqrt{\frac{R^2}{4} + S}. \tag{14}$$

WKB 的两种退化情况:

**薄壳退化**: 若 $kh \rightarrow 0$  且 $h \rightarrow 0$  ,则

$$f_{I} \rightarrow -kh \frac{2q^{2}B_{i}^{2}I\cos^{2}\theta_{i}}{k^{2}\Delta B^{2}I^{'}} - kh \frac{2B_{\phi i}^{2}}{ka\Delta B^{2}} \rightarrow 0,$$

$$f_{K} = -kh \frac{2q^{2}B_{o}^{2}K\cos^{2}\theta_{o}}{k^{2}\Delta B^{2}K^{'}} - kh \frac{2B_{\phi o}^{2}}{ka\Delta B^{2}} \rightarrow 0,$$

$$(15)$$

$$R = -\frac{(I_{-}K - IK_{-}) + (I_{-}K_{-} - I_{-}K_{-})}{I_{-}K - IK_{-}} + \frac{(I_{-}K - IK_{-})}{I_{-}K - IK_{-}} f_{I} + \frac{(I_{-}K_{-} - I_{-}K_{-})}{I_{-}K - IK_{-}} f_{K}$$

$$\Rightarrow \frac{1}{ka} + \frac{2q^{2}B_{i}^{2}I\cos^{2}\theta_{i}}{k^{2}\Delta B^{2}I_{-}} + \frac{2B_{\phi i}^{2}}{ka\Delta B^{2}} - \frac{2q^{2}B_{o}^{2}K\cos^{2}\theta_{o}}{k^{2}\Delta B^{2}K_{-}} - \frac{2B_{\phi o}^{2}}{ka\Delta B^{2}}$$

$$= \frac{2q^{2}B_{i}^{2}I\cos^{2}\theta_{i}}{k^{2}\Delta B^{2}I_{-}} - \frac{2q^{2}B_{o}^{2}K\cos^{2}\theta_{o}}{k^{2}\Delta B^{2}K_{-}} + \frac{B_{\phi i}^{2} + B_{zo}^{2} - B_{\phi o}^{2} - B_{zi}^{2}}{ka\Delta B^{2}},$$

$$S \Rightarrow -\frac{(I_{-}K_{-} - I_{-}K_{-})}{I_{-}K_{-}IK_{-}} \Rightarrow \frac{q^{2}}{k^{2}}.$$
(16)

若内部无磁场, 并取 WKB 近似,则(11)式与 Ryutov 的 WKB 结果 (36)式一致。

**平板退化**: 若 $a \to \infty$ ,并取 WKB 近似,则 R 和 S 退化成 Lau 的(7)式。若进一步内部无磁场,则(11)式退化成 Harris 的(26)式,即

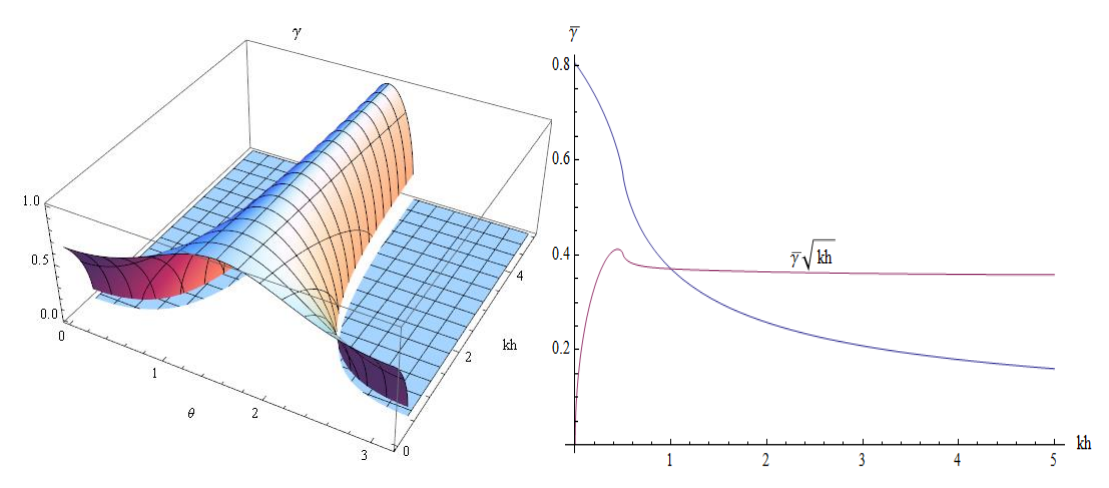
$$\Gamma_{1,2}^2 = \gamma_+ g k, \Gamma_{3,4}^2 = \gamma_- g k, \tag{17}$$

$$\gamma_{\pm} = -\frac{R}{2} \pm \sqrt{\frac{R^2}{4} + S},\tag{18}$$

$$R = 2kh \coth(kh) \cos^2 \theta, S = 1 - 2kh \cos^2 \theta, \tag{19}$$

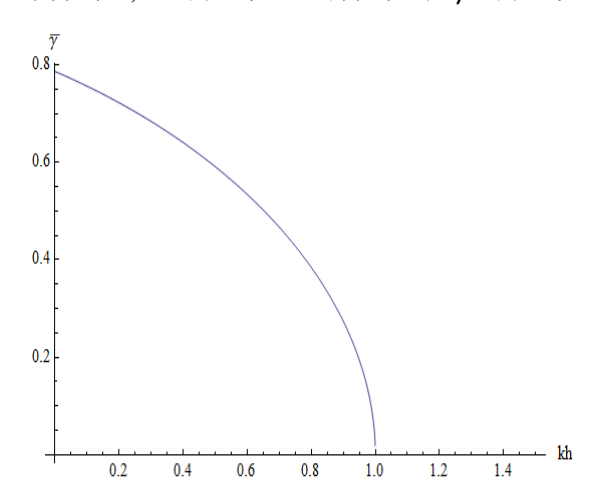
其中  $\theta$  为旋转磁场 B(t)与波矢 k=(kx,ky,0)之间夹角  $\theta$   $(t)=\omega_b t + \theta_0$ 。恒有  $R \geq 0$ ,  $\frac{R^2}{4} + S \geq 0$ ,因此  $\gamma$ \_ 恒负,是振荡模式。仅当 S > 0 时, $\Gamma^2_{1,2} > 0$ ,存在不稳定的正根,因此定义增长率  $\Gamma = \sqrt{\max(0,\Gamma^2_{1,2})}$ ,及归一化增长率  $\gamma = \Gamma/\sqrt{gk} = \sqrt{\max(0,\gamma_+)}$ 。

eta 養磁场方向的旋转频率  $\omega_b \ll \Gamma$  ,则在  $T \gg 2\pi / \omega_b$  的时间尺度上,每个模式  $ar{k} \equiv (k, \theta)$  都感受到一个与  $\theta$  无关的平均增长率  $\Gamma = \langle \Gamma \rangle_{\theta}$  及归一化平均增长率  $\gamma = \langle \gamma \rangle_{\theta}$  。下图依次是  $\gamma$  和  $\gamma$  :



其右端极限:  $kh \to \infty$ 时,  $\gamma \to \frac{\sqrt{2}}{4}/\sqrt{kh}$ , 即 $\Gamma \to \frac{\sqrt{2}}{4}\sqrt{g/h}$ 。

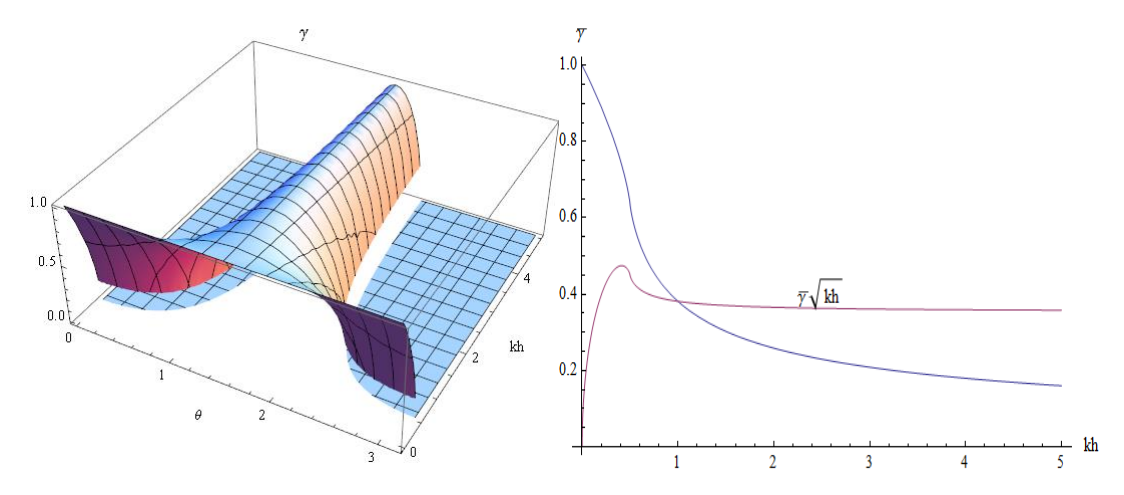
其左端极限:  $kh\to 0$ 时, $\gamma\to 0.8041731875209983<1$ ,表明即使在最左端亦存在抑制作用。极大值出现在: kh=0.44329236527950494时, $\Gamma=0.4122332114675114\sqrt{g/h}$ 。



其左端极限是 $\sqrt{\frac{\sqrt{s}-1}{2}} = 0.7861513777574233$ 。 $kh \ge 1$ 的模式完全致稳。

归一化增长率既代表了对经典解 $\sqrt{gk}$  的相对值,因此可以看出,在 $T>2\pi/\Gamma$ 的时间尺度上,磁场方向旋转对所有模式都有抑制作用,这可能表明, $\Theta$  箍缩和 Z 箍缩交替进行的构型可能有助于抑制 MRT。归一化增长率又代表了对于在固定加速度 g 驱动下的某一固定模式,例如 g=1,k=1,增长率随厚度的依赖关系,这时将横轴理解为绝对厚度 h,因此可以看出厚度具有单调的抑制作用,而且,只要足够厚,可以抑制到任意程度,没有饱和。若总质量固定, $\rho \downarrow$ ,则  $h \uparrow$ ,则增长率单调下降,表明低密度实心套筒有助于抑制 MRT。

这些结果能<mark>退化至半无限平面</mark>即无限厚的结果。 $kh\to\infty$ ,则  $R\to 2kh\cos^2\theta$ , $S=1-2kh\cos^2\theta$ ,因此  $\Gamma_{1,2}^2=gk-2ghk^2\cos^2\theta=gk-V_A^2k^2\cos^2\theta$ :

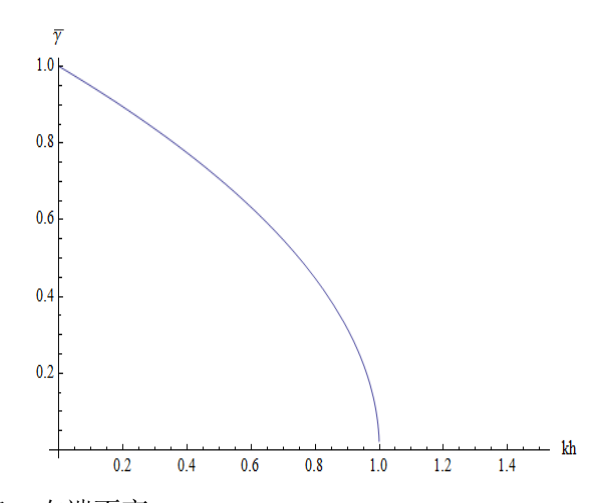


其右端极限:  $kh \to \infty$ 时, $\overline{\gamma} \to \frac{\sqrt{2}}{4}/\sqrt{kh}$ ,即 $\overline{\Gamma} \to \frac{\sqrt{2}}{4}\sqrt{g/h}$ 。不变。

其左端极限:  $kh \rightarrow 0$ 时,  $\gamma \rightarrow 1$ 。上移。

极大值出现在: kh=0.41305738494835587时, $\overline{\Gamma}=0.47483176886636336\sqrt{g/h}$ 。左移,上移。

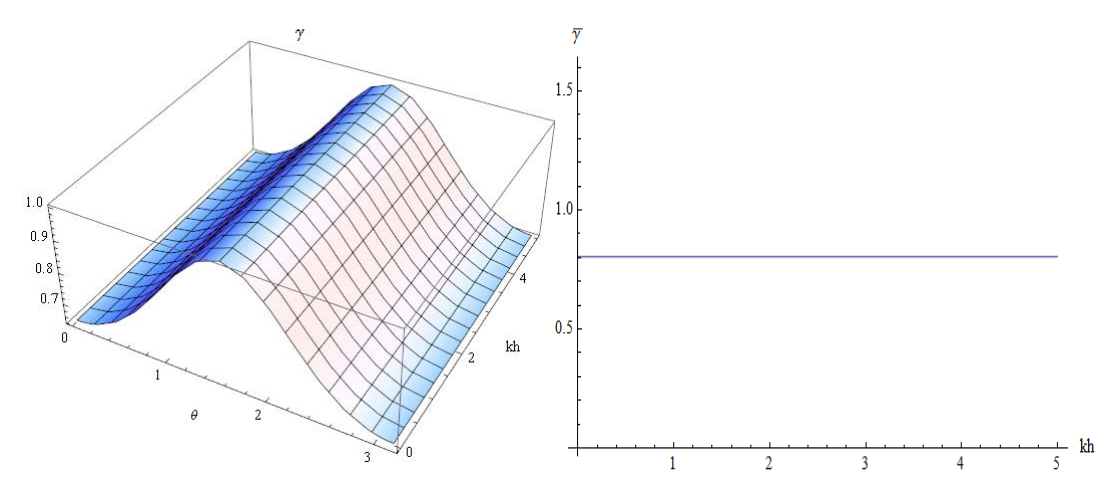
若  $\omega_b\gg\Gamma$ ,则将  $\cos^2\theta$  替换为 1/2 即得到  $\Gamma_{1,2}^2=gk-ghk^2=gk-\frac{1}{2}V_A^2k^2$ :



 $kh \ge 1$ 的模式完全致稳。右端不变。

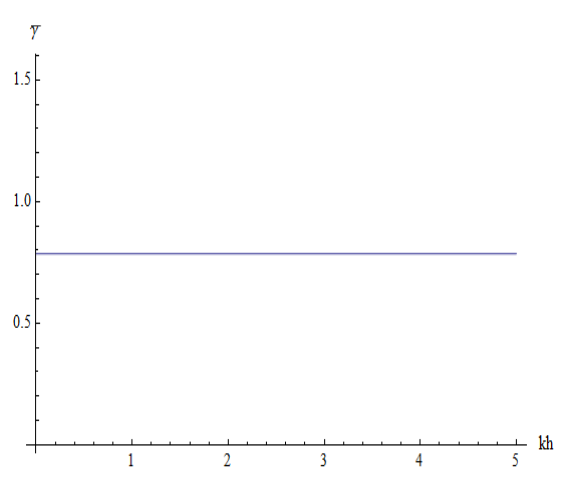
需要注意的是这些结果仅右端有意义,因为左端与前提条件 kh→∞不一致。

若退化至无限薄, $kh \rightarrow 0$ ,则  $R \rightarrow 2\cos^2\theta$ , $S \rightarrow 1$ ,因此  $\Gamma = \sqrt{-\cos^2\theta + \sqrt{1+\cos^4\theta}}\sqrt{gk}$ :



即原来结果的左端极限:  $\overline{\Gamma} = 0.8041731875209983\sqrt{gk}$ 。

若  $\omega_b\gg\Gamma$  ,则将  $\cos^2\theta$  替换为 1/2 即得到  $\overline{\Gamma}=\sqrt{\frac{\sqrt{5}-1}{2}}\sqrt{gk}=0.7861513777574233\sqrt{gk}$  ,即原来结果的左端极限。



需要注意的是这些结果仅左端有意义,因为右端与前提条件 kh→0 不一致。

## 平板 non-WKB:

取  $a \rightarrow \infty$  极限,并假定仅驱动侧有磁场,则

$$R = 2kh \coth(kh) \cos^2 \theta, S = 1 - 2kh \cos^2 \theta, \tag{20}$$

其中  $\theta$  为旋转磁场 B(t)与波矢 k=(kx,ky,0)之间夹角  $\theta$   $(t)=\omega_b t + \theta_0$ 。恒有  $R \geq 0$ , $\frac{R^2}{4} + S \geq 0$ ,因此  $\gamma_- = -\frac{R}{2} - \sqrt{\frac{R^2}{4} + S}$  恒负,是振荡模式,认为/假定这个模式最终全被其他耗散机制衰减掉,舍去不 予考虑,仅考虑  $\gamma_+ = -\frac{R}{2} + \sqrt{\frac{R^2}{4} + S}$  一支:

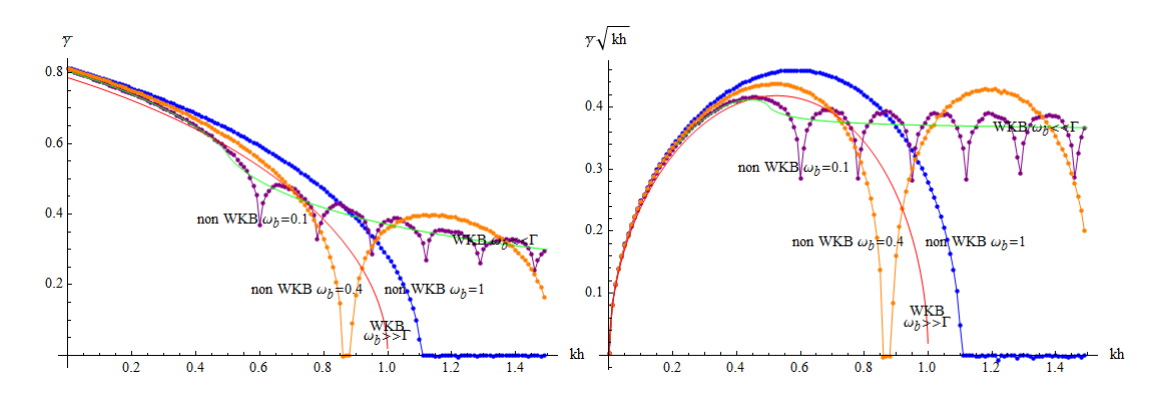
$$(\ddot{\xi} - \gamma_{\perp} gk\xi) = 0. \tag{21}$$

将时间用 $1/\sqrt{gk}$  归一化,增长率用 $\sqrt{gk}$  归一化,磁场方向的旋转频率用 $\sqrt{g/h}$  归一化,波矢用1/h 归一化,则(20)、(21)变为:

$$R = 2k \coth(k) \cos^2(\omega_b t / \sqrt{k} + \theta_0), S = 1 - 2k \cos^2(\omega_b t / \sqrt{k} + \theta_0), \tag{22}$$

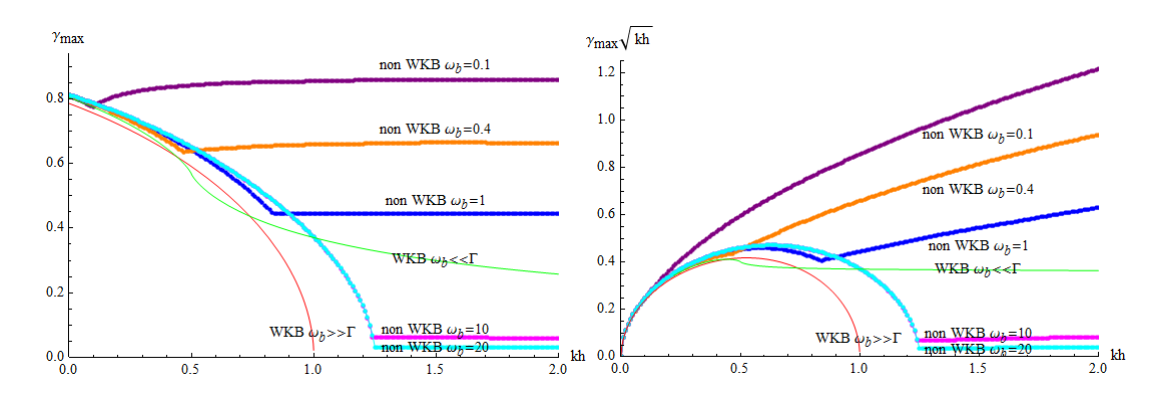
$$(\ddot{\xi} - \gamma_+ \xi) = 0. \tag{23}$$

初始条件取 $\xi(0)=\xi_0,\xi'(0)=0$ ,数值积分(23)式至一非常大的时刻 $t_{\rm f}$ ,例如 200。定义归一化平均增长率 $\bar{\gamma}=\ln(|\xi(t_{\rm f})|/\xi_0)/t_{\rm f}$ ,这样定义的增长率与 $\theta_0$ 无关。 $\omega_b=0.1,1,10$ 的结果为:

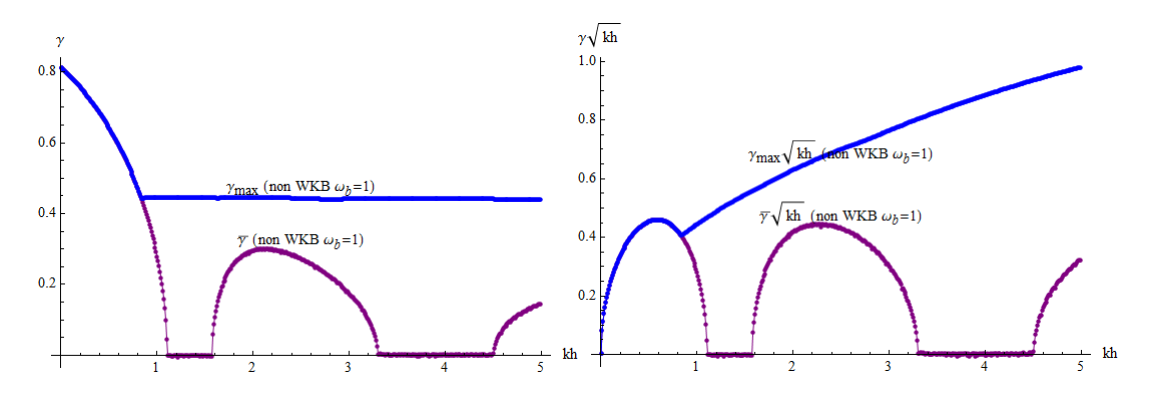


低频时退化至 WKB 低频结果。高频时,随着频率升高,第一拱门(arch)右止点右移、下移(直到 0),拱顶位置右移、上移。第一拱门右止点位置,尽管右移,似乎存在一个饱和趋近值~1.25。第一拱门拱顶位置,尽管右移、上移,似乎也存在饱和趋近值:峰位~0.63、峰值~0.47。高频时,第二拱门左起点位置近似有  $k \approx \omega_b^2$ ,例如  $\omega_b = 2,3,5,10$  的第二拱门左起点位置近似为  $k \approx 4,9,25,100$ 。第一拱门右止点与第二拱门左起点之间均是被完全抑制的。右边还有更多个高度差不多的拱门,但可以合理地假定它们能够被某种耗散机制衰减掉,耗散对高模数非常有效。

前述(归一化)平均增长率对于长时间尺度的度量是恰当的,但对于短时间尺度的度量未必适用,这时可以定义归一化最大增长率  $\gamma_{\max} = \max_{\theta_0 \in [0,2\pi], t \in [0,t_1]} \{\ln(|\xi(t)|/\xi_0)/t\}$ 。



 $\bar{\gamma}$ 与 $\gamma_{\text{max}}$ 的比较,以 $\omega_b = 1$ 为例:



••••